

Chap 10 : Phénomènes de propagation en dispersifs -  
Eq d'Alembert, propagation unidirectionnelle

1° Ondes mécaniques transversales sur une corde vibrante

1° - Cadre de l'étude : approximat° des mvts  
transversales de faible amplitude

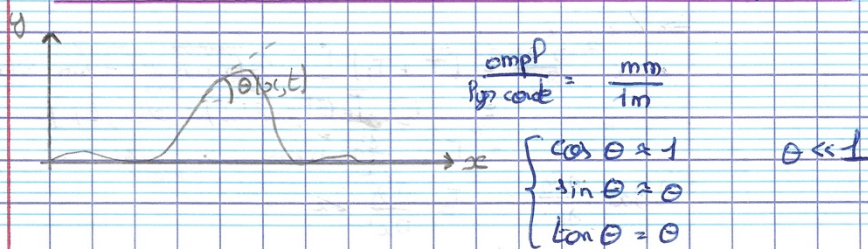


- Vibrat° et propagat° unidimensionnelle selon Ox
- On ne considère que des vibrations transversales -> corde inextensible, pas de déplacement / x
- Néglige pds corde face à sa tension -> corde horizontale au repos

Exple corde de guitare :

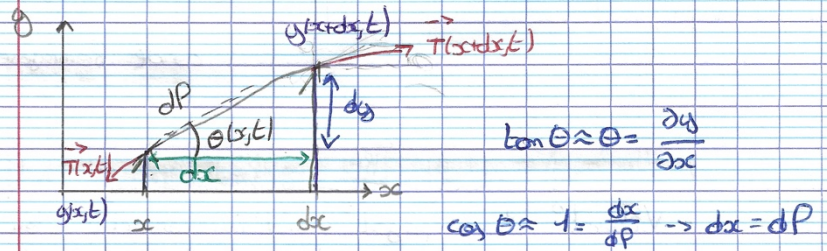
Tension  $T \approx 10 \text{ N}$ , diamètre  $d = 0,25 \text{ mm}$ ,  
 $\mu = 7 \text{ scc kg, m}^{-3}$ ,  $L = 1 \text{ m}$   
 Poids  $P = mg = \lambda L g$ ,  $\lambda = \mu \frac{\pi d^2}{4} L = 4 \cdot 10^{-4} \text{ kg m}^{-1}$   
 $P = 4 \cdot 10^{-4} \times 1 \times 10 = 4 \cdot 10^{-3} \text{ N} \ll T$

-> Approximat° des vibrations de faible amplitude :



- On néglige les frottements avec l'air et la rigidité de la corde qui est souple et fine
- > ps de couple de rappel (cable corde enroulée)
- > forces de tension tangentes à la corde

2° - Etablissement de l'eq de propagation :  
eq de d'Alembert



PFD de l'éla galiléen :

$$dm \vec{a} = \vec{T}(x+dx, t) + \vec{T}(x, t)$$

$$\lambda dx \frac{\partial^2 y}{\partial t^2} \vec{e}_y = \vec{T}(x+dx, t) + \vec{T}(x, t)$$

-> / e\_x :

$$0 = T(x+dx, t) \cos \theta(x+dx, t) - T(x, t) \cos \theta(x, t)$$

$$0 = T(x+dx, t) - T(x, t)$$

$T(x+dx, t) = T(x, t)$ , tension indep de x, uniforme le long de la corde

On pourra noter :  $T(t) = T_0 + T_1(t)$ ,  $T_1(t) \ll T_0$

-> / e\_y :

$$\lambda dx \frac{\partial^2 y}{\partial t^2} = (T_0 + T_1) [\sin \theta(x+dx, t) - \sin \theta(x, t)]$$

$$= T_0 [\theta(x+dx, t) - \theta(x, t)]$$

$$= T_0 \frac{\partial \theta}{\partial x} dx$$

$$\lambda dx \frac{\partial^2 y}{\partial t^2} = T_0 \frac{\partial^2 y}{\partial x^2} dx$$

$$\lambda_0 m^{-2} = \frac{1}{c^2}, \text{ c.c. constante de Ponde}$$

$$\frac{\partial^2 y}{\partial x^2} - \frac{1}{c^2} \frac{\partial^2 y}{\partial t^2} = 0$$

$$\frac{\partial^2 y}{\partial x^2} - \frac{1}{c^2} \frac{\partial^2 y}{\partial t^2} = 0 \quad \text{Eq d'Alembert}$$

→ eq linéaire car on suppose petites amplitudes

→  $t' = -t$ , réversible

Généralisation:  $\exists D \circ \exists \log \circ \exists t \rightarrow \text{vibrat}^\circ$

$$\Delta \rightarrow -\frac{1}{c^2} \frac{\partial^2 y}{\partial t^2} = 0$$

## II° Ondes progressives: régime Ponde d'une corde dans un milieu ca

### 1° Sol de l'eq de d'Alembert: ondes planes progressives (OPP)

#### a) Ondes planes

Onde qui ne dep que d'une coord de l'esp dans un repère cartésien, par exple  $x$ .

En t et pt d'un plan  $x = cte$  l'onde est la même, même état de vibrat°. Il s'agit du plan d'onde.

#### b) Ondes planes progressives

forme générale: **A RETENIR**

$$\begin{cases} f(x-ct) \\ f(t - \frac{x}{c}) \end{cases}$$

Ondes progressives selon  $(ox)^+$

$$\begin{cases} g(x+ct) \\ g(t + \frac{x}{c}) \end{cases}$$

Ondes progressives selon  $(ox)^-$

Vérifions que  $f(x-ct) = f(u)$  satisfait l'eq de propagat° de d'Alembert.

$$\frac{\partial B}{\partial t} = \frac{dB}{du} \frac{\partial u}{\partial t} \quad \text{avec } u = x-ct$$

$$= \frac{dB}{du} \times -c$$

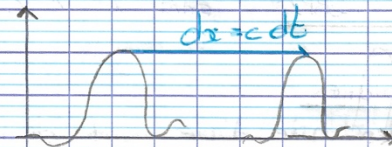
$$\frac{\partial^2 B}{\partial t^2} = \frac{d^2 B}{du^2} c^2$$

$$\frac{\partial B}{\partial x} = \frac{dB}{du} \frac{\partial u}{\partial x} = \frac{dB}{du} \times 1$$

$$\frac{\partial^2 B}{\partial x^2} = \frac{d^2 B}{du^2}$$

$$\text{Eq d'Alembert: } \frac{d^2 B}{du^2} - \frac{1}{c^2} \left( \frac{d^2 B}{du^2} \right) = 0$$

Aspect physique de la propagat° de l'OPP sans dispersion:



en  $t$  à  $x$

$$f(t - \frac{x}{c})$$

en  $t+dt$  à  $x+dx$

$$f(t+dt - \frac{x+dx}{c})$$

$$f(t - \frac{x}{c} + dt - \frac{dx}{c})$$

$$f(t+dt - \frac{x+dx}{c}) = f(t - \frac{x}{c})$$

L'onde s'est déplacée à la vitesse  $c$ .

### 2° OPP: OPP Harmonique

a) Express° générale, vecteur d'onde, vitesse de phase

$$\begin{aligned} s(x,t) &= A \cos \left[ \omega \left( t - \frac{x}{c} \right) \right] \\ &= A \cos \left[ \omega t - \left( \frac{\omega}{c} x \right) \right] = A \cos \left[ \omega t - (kx) \right] \end{aligned}$$

$\vec{k}$  vecteur d'onde qui indique la propagat°, ici  $\vec{k} = k \vec{e}_x$  direction de

• Double périodicité :

- Temporelle  $\rightarrow$  période  $T = \frac{2\pi}{\omega}$ ,  $\omega = 2\pi f$
- Spatiale  $k = \frac{2\pi}{\lambda}$ , 1 période spatiale =  $cT$

De manière générale  $\Delta(\vec{r}, t) = A \cos(\omega t - \vec{k} \cdot \vec{r})$

• Vitesse de phase :

$\phi(x, t) = \omega t - kx + \phi_0$  si nécessaire

$\phi = \text{cte} \Rightarrow$  vit de déplacement de la phase

$\text{cte} = \omega t - kx$

$\hookrightarrow x = \frac{\omega}{k} t + \text{cte}$

$x = v_p t + \text{cte}$ ,  $v_p = \frac{\omega}{k}$

Rq : si  $v_p = \frac{\omega}{k} = c = \sqrt{\frac{T_0}{\mu}}$  pr les ondes sur la corde  
 $v_p \neq f(k) \rightarrow$  pr de dispersion

b) Notat° complexe et eq de dispersion

$\Delta(x, t) = A \cos(\omega t - kx)$

$\Delta = A e^{i(\omega t - kx)}$ ,  $\Delta(x, t) = \text{Re}(\Delta)$

$\frac{\partial \Delta}{\partial t} = i\omega \Delta \rightarrow \frac{\partial^2 \Delta}{\partial t^2} = -\omega^2 \Delta$

$\frac{\partial \Delta}{\partial x} = -ik \Delta \rightarrow \frac{\partial^2 \Delta}{\partial x^2} = -k^2 \Delta$

$\frac{\partial^2 \Delta}{\partial x^2} - \frac{1}{c^2} \frac{\partial^2 \Delta}{\partial t^2} = \left[ -k^2 + \left(\frac{\omega}{c}\right)^2 \right] \Delta = 0$

$k^2 = \left(\frac{\omega}{c}\right)^2 \rightarrow k = \frac{\omega}{c} \in \mathbb{R}$  sans dispersion

C'est la relat° de dispersion  $k(\omega)$

III. Ondes stationnaires : régime libre ou forcé d'un milieu fini

1° Def d'une onde stationnaire

Forme générale :

$\Delta(x, t) = f(x) \times g(t)$

- découplage de x et t
- l'onde doit du "sur place", ne se propage plus
- $\Delta$  statia  $\Rightarrow$  indep du tps
- adaptée aux CL (vt)

2° 1<sup>ère</sup> approche : obtent° par superposit° de 2 cpm



①  $\Delta_1(x, t) = A \cos(\omega t - kx + \alpha)$

②  $\Delta_2(x, t) = A \cos(\omega t + kx + \theta)$

$\Delta = \Delta_1 + \Delta_2 = A \cos(\omega t + \phi) \cos(kx + \psi) = \Delta$

3° 2<sup>e</sup> approche : obtent° par resolut° à variables séparées

a) On choisit une resolut° stationnaire  $\Delta(x, t) = f(x) g(t)$

$\frac{\partial^2 \Delta}{\partial x^2} - \frac{1}{c^2} \frac{\partial^2 \Delta}{\partial t^2} = 0$

$\theta \frac{d^2 f}{dx^2} - \frac{1}{c^2} f \frac{d^2 g}{dt^2} = 0 \Leftrightarrow \frac{1}{\theta} \frac{d^2 g}{dt^2} = \frac{c^2}{f} \frac{d^2 f}{dx^2} = \text{cte!}$

pr  $[\text{cte}] = \left[ \frac{1}{\theta} \frac{d^2 g}{dt^2} \right] = \lambda^{-2}$ , on pose  $\text{cte} = \pm \omega^2$

$\frac{1}{\theta} \frac{d^2 g}{dt^2} = \pm \omega^2$

2 cas : soit  $\omega t = +\omega^2$ ,  $\frac{d^2g}{dt^2} - \omega^2 g = 0$ ,  $g(t) = Ae^{+\omega t} + Be^{-\omega t}$   
 diverge qd  $t \rightarrow +\infty \Rightarrow$  NOU  
 - soit  $\omega t = -\omega^2$

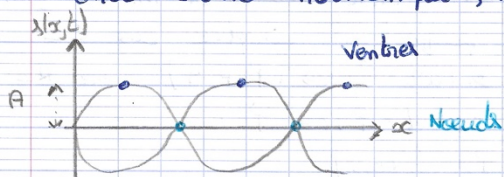
$\frac{d^2g}{dt^2} + \omega^2 g = 0$ ,  $g(t) = C \cos \omega t + D \sin \omega t$   
 $= g \cos(\omega t + \phi)$

$\frac{c^2}{B} \frac{d^2B}{dx^2} = -\omega^2$

$\frac{d^2B}{dx^2} + \left(\frac{\omega}{c}\right)^2 B = 0$ ,  $\frac{d^2B}{dx^2} + k^2 B = 0$  avec  $k = \frac{\omega}{c}$

$\hookrightarrow f(x) = b \cos(kx + \psi)$

Sol générale  $\rightarrow x, t) = \beta(x)g(t) = A \cos(\omega t + \phi) \cos(kx + \psi)$   
 onde statio harmonique,  $k = \frac{\omega}{c}$



b) Positions des nœuds et des ventres

• Nœuds :  $\cos(kx + \psi) = 0 \Rightarrow kx + \psi = \frac{\pi}{2} + n\pi$ ,  $n \in \mathbb{N}$   
 On cherche  $\Delta x$  la distance entre 2 nœuds consécutifs  
 repérés par  $n+1$  et  $n$

Différencions l'expression :

$k \Delta x = \Delta n \pi$  avec  $\Delta n = 1 \Rightarrow \Delta x = \frac{\pi}{k} = \frac{\lambda}{2}$

• Ventres : m méthode

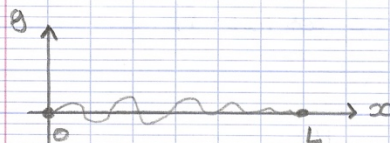
$|\cos(kx + \psi)| = 1 \Rightarrow kx + \psi = n\pi$ ,  $n \in \mathbb{N}$

Par différenciation :  $k \Delta x = \Delta n \pi \Rightarrow \Delta x = \frac{\lambda}{2}$

La dist entre 2 nœuds ou 2 ventres consécutifs est  $\frac{\lambda}{2}$ .

4° Etude du régime libre d'une corde fixée à ses 2 extrémités

a) Quantification des vecteurs d'onde, des  $\omega$  et  $f$



CL : pas de vibrat° aux extrémités

$x(x=0, t) = x(x=L, t) = 0 \quad \forall t$

Ap naissance vibrat°, réflex° multiples  $\Rightarrow$  superposit° d'ondes progressives  $\Rightarrow$  onde statio en milieu fini de  $\oplus$  onde statio parfaitement adaptée aux CL.

Sol :  $x(x, t) = A \cos(\omega t + \phi) \cos(kx + \psi)$ , avec  $k = \frac{\omega}{c}$

•  $x(x=0, t) = 0 = A \cos(\omega t + \phi) \cos \psi : \quad \forall t$

$\cos \psi = 0 \Rightarrow \psi = \frac{\pi}{2} (+n\pi)$

Prodjoint de  $n\pi$  modifie le signe seulement  $\rightarrow$  conserve ch amplitude

$x(x, t) = A \cos(\omega t + \phi) \cos(kx + \frac{\pi}{2})$

$= -A \cos(\omega t + \phi) \sin(kx)$

$= A \cos(\omega t + \phi) \sin(kx)$

•  $x(x=L, t) = 0 = A \cos(\omega t + \phi) \sin(kL) \quad \forall t$

$\sin kL = 0 \Rightarrow kL = n\pi$ ,  $n \in \mathbb{N}^*$  ( $k \neq 0$ )

$k_n L = n\pi \Rightarrow k_n = \frac{n\pi}{L}$ , avec  $k_n = \frac{2\pi}{\lambda_n} = \frac{n\pi}{L} \Rightarrow L = n \frac{\lambda}{2}$

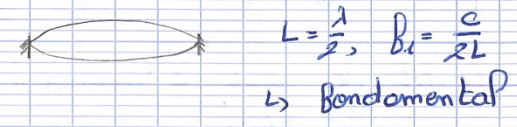
$\hookrightarrow$  Pour corde multiple de  $\frac{\lambda}{2}$  (entier)

$\omega_n = k_n c = \frac{n\pi c}{L}$ ,  $f_n = n \frac{c}{2L}$

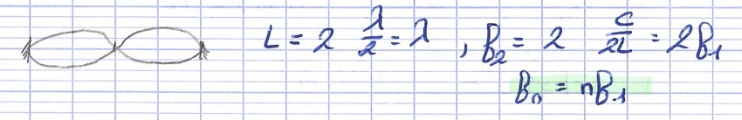
$\omega_n$  et  $f_n$  (valeurs discrètes) et les pulsations et fréquences propres

b) Modes propres de vibration

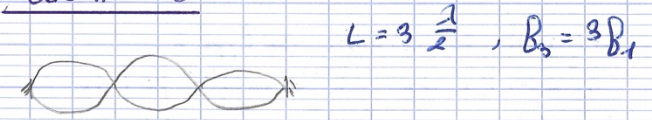
◦ Mode  $n=1$  : 1 Bureau



◦ Mode  $n=2$  : 2 Bureaux



◦ Mode  $n=3$  :



Pour linéarité de P<sub>eq</sub> de propagation, on peut construire l'te sol comme la somme (superposit<sup>o</sup>) des vibrations modes.

En le mode  $n$   $s_n(x,t) = A_n \cos(\omega_n t + \varphi_n) \sin(k_n x)$   
 sol globale :  $s(x,t) = \sum_{n=1}^{+\infty} A_n \cos(\omega_n t + \varphi_n) \sin(k_n x)$   
 $s(x,t) = \sum_{n=1}^{+\infty} s_n(x,t)$

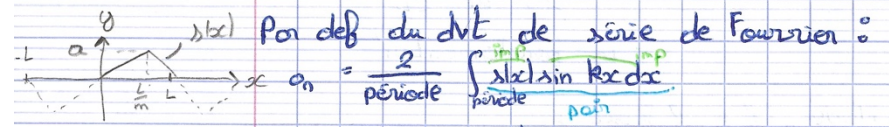
c) Explicite<sup>o</sup> des CI : sol par superposit<sup>o</sup> de modes propres

$s(x,t) = \sum_{n=1}^{+\infty} [a_n \cos(\omega_n t) + b_n \sin(\omega_n t)] \sin(k_n x)$   
 CI imposent 2 relations : déform<sup>o</sup> initiale  $\rightarrow$  position  
 vitesse initiale

◦  $s(x,t=0) = s(x) = \sum_{n=1}^{+\infty} a_n \sin(k_n x)$   
 ◦  $\frac{\partial s}{\partial t}(x,t=0) = v(x) = \sum_{n=1}^{+\infty} b_n \omega_n \sin(k_n x)$   
 Ici corde pincée avec p<sup>o</sup>cher à vitesse initiale nulle  
 ↳  $v(x) = 0$

$\Rightarrow b_n = 0$

Les CI correspondent aux dvt en série de Fourier de bes  $2L$ -périodiques + impaires.  
 En effet par le fondamental :  $k_1 = 1 \times \frac{\pi}{L} = \frac{2\pi}{2L}$  période spatiale



$a_n = \frac{2}{2L} \times 2 \times \int_0^L s(x) \sin(k_n x) dx$

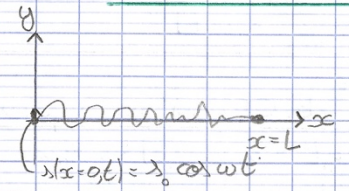
$s(x) = \begin{cases} \frac{am}{L}x & x \in [0, \frac{L}{m}] \\ 0 & x \in [\frac{L}{m}, L] \end{cases}$

bc offre par morceaux  $\begin{cases} \frac{am}{(m-1)L}(x-L) & x \in [\frac{L}{m}, L] \end{cases}$

Intégrale à réaliser du type :  
 $\int_0^L x \sin(k_n x) dx = \int_0^L x \sin\left[\left(\frac{n\pi}{L}\right)x\right] dx$   
 Ap IPP :  $a_n = \frac{2am^2}{(n-1)n\pi^2} \sin\left(\frac{n\pi}{m}\right)$

$s(x,t) = \frac{2am^2}{(m-1)\pi^2} \sum_{n=1}^{+\infty} \frac{1}{n^2} \sin\left(\frac{n\pi}{m}\right) \sin(k_n x) \cos(\omega_n t)$

5<sup>e</sup> Etude en régime sinusoïdal forcé : résonance de la corde de Helde



2 CL :  $s(x=0, t) = s_0 \cos \omega t$   
 $s(x=L, t) = 0$

On choisit une sol d'ordre statio harmonique  
 $s(x,t) = A(\omega) \cos(\omega t + \varphi) \sin(kx + \psi)$   
 amplitude qui dep de  $\omega$

$s(x=0, t) = s_0 \cos \omega t = A(\omega) \cos(\omega t + \varphi) \sin \varphi$   
 $\hookrightarrow \varphi = 0, A(\omega) = \frac{s_0}{\sin \varphi}$  avec  $s_0 \approx \text{mm}$  et  $A(\omega) \approx \text{cm}$

$s(x=L, t) = 0 = \frac{s_0}{\sin \varphi} \cos \omega t \sin(kL + \varphi)$   
 $\hookrightarrow \forall t \sin(kL + \varphi) = 0 \Rightarrow kL + \varphi = p\pi, p \in \mathbb{N}$   
 p change uniquement le signe du sinus qui pourra être observé en P'amp

On choisit  $p=0 \rightarrow kL + \varphi = 0 \Rightarrow \varphi = -kL$   
 $\hookrightarrow s(x, t) = \frac{s_0}{\sin kL} \cos \omega t \sin(kx - kL)$

$s(x, t) = \frac{s_0}{\sin kL} \cos \omega t \sin(k(L-x))$

Il y a des résonances qd  $\sin kL = 0$  (minimal)

ou par  $A(\omega) \rightarrow +\infty$  de  $k_n L = n\pi, n \in \mathbb{N}^*$

Alors  $\sin k(L-x) = \sin(n\pi - k_n x) = \sin k_n x$

$s(x, t) = A(\omega_n) \cos(\omega_n t) \sin(k_n x)$

$\hookrightarrow$  on retrouve la forme d'onde stat de la corde fixée à ses 2 extrémités avec résonance par les freq propres  $f_n$ .

Rq: Résonances finies on prise en compte éventuellement

$\hookrightarrow$  raideur de la corde

$\hookrightarrow$  frottement avec l'air

On peut approximer la vibrat° par un noeud en  $x=0$  car amp vibre  $\ll$  amp résonance

$\hookrightarrow$  m forme par corde fixée à 2 extrémités.

## II. Propagat° le long d'un câble coaxial sans pertes

### 1° - Modélisat° à ctes réparties sans pertes

$\rightarrow$  propagat° sur qq km et protect° des perturbations électromagnétiques ext (contrairement à la ligne bifilaire) grâce au blindage.

câble coax  $\rightarrow$  conducteur central (âme)  
 $\rightarrow$  conduct périphérique (treuil/blindage)  
 entre les 2 diélectriques plastique,  $\epsilon_r = 2,25$

o IP  $\exists$  un chp élec qui se propage / IP est radial  
 $\vec{E} = f(r) e^{i(\omega t - kr)} \vec{e}_r$

de rés élec et condensateur à géo cylindrique

$$\Gamma = \frac{dc}{ds} = \frac{2\pi\epsilon_0}{\ln \frac{b}{a}}$$

$\hookrightarrow$  en C.m<sup>-1</sup> capacité linéique

Resultats de l'électrostatique valides!

o Courants de signe opposés âme et treuil  $\vec{B}$  selon  $\vec{e}_\theta$

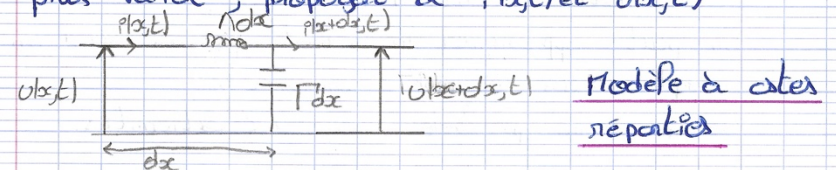
$\hookrightarrow$  existence d'une inductance propre

$$\Lambda = \frac{dL}{dc} = \frac{\mu_0}{2\pi} \ln \left( \frac{b}{a} \right)$$

$\hookrightarrow$  résultat de la magnétostatique valide

$\hookrightarrow$  en Ham<sup>-1</sup> inductance linéique.

A l'échelle d'un câble de pl<sup>3</sup> dizaines de m, ARQS plus valide propagat° de  $i(x, t)$  et  $u(x, t)$



2° - Eq de couplage et de propagat° de  $i(x, t)$  et de  $u(x, t)$

Loi des Mailles:

$$u(x+dx, t) = u(x, t) - \Lambda dx \frac{\partial i(x, t)}{\partial t}$$

$$u(x+dx, t) - u(x, t) = \frac{\partial u}{\partial x} dx = -\Lambda dx \frac{\partial i}{\partial t}$$

$$\frac{\partial u}{\partial x} = -\Lambda \frac{\partial i}{\partial t} \quad 1) \text{ couplage}$$

Loi des nœuds :

$$i(x,t) = i(x+dx,t) + \Gamma dx \frac{\partial u(x+dx,t)}{\partial t}$$

$$i(x+dx,t) - i(x,t) = -\Gamma dx \frac{\partial u}{\partial t}(x+dx,t)$$

$$\frac{\partial i}{\partial x} dx = -\Gamma dx \frac{\partial u}{\partial t}(x+dx,t) \quad \text{avec} \quad \frac{\partial u(x+dx,t)}{\partial t} = \frac{\partial}{\partial t} \left( u(x) + \frac{\partial u}{\partial x} dx \right)$$

négligeable

$$\approx \frac{\partial u}{\partial t} \quad \text{à l'ordre } 0$$

$$\frac{\partial i}{\partial x} = -\Gamma \frac{\partial u}{\partial t} \quad 2) \text{ couplage}$$

Eq de propagation de  $u(x,t)$  :

$$\frac{\partial^2 u}{\partial x^2} \Rightarrow \frac{\partial^2 u}{\partial x^2} = -\Lambda \frac{\partial}{\partial x} \left( \frac{\partial i}{\partial t} \right) = -\Lambda \frac{\partial}{\partial x} \left( \frac{\partial i}{\partial x} \right)$$

$$= \Lambda \Gamma \frac{\partial}{\partial x} \left( \frac{\partial u}{\partial t} \right) \quad \downarrow 2)$$

$$\frac{\partial^2 u}{\partial x^2} - \Lambda \Gamma \frac{\partial^2 u}{\partial t^2} = 0$$

$$\frac{\partial^2 u}{\partial x^2} - \frac{1}{c^2} \frac{\partial^2 u}{\partial t^2} = 0, \quad \text{avec} \quad c^2 = \frac{1}{\Lambda \Gamma}$$

$c$  représente la vitesse de propagation entre deux lignes vide  $c^2 = \frac{1}{\epsilon_0 \mu_0} \rightarrow c = 3 \cdot 10^8 \text{ m.s}^{-1}$

en effet  $c^2 = \frac{1}{\Lambda \Gamma} = \frac{\rho_n \frac{b}{a}}{2\pi \epsilon_0} \times \frac{2\pi}{\mu_0 \rho_n \frac{b}{a}} = \frac{1}{\epsilon_0 \mu_0}$

⚠ En réalité, milieu diélectrique de cet espace  $c^2 = \frac{1}{\epsilon_n \epsilon_0 \mu_0} \Rightarrow c = \frac{c_{vide}}{\sqrt{\epsilon_n}} = 2 \times 10^8 \text{ m.s}^{-1}$

Rq<sup>o</sup> On obtient aussi  $\frac{\partial^2 i}{\partial x^2} - \frac{1}{c^2} \frac{\partial^2 i}{\partial t^2} = 0$

### 3° Impédance caractéristique du câble

$$Z_c = \frac{u}{i} \rightarrow \frac{\text{"cause"}}{\text{"effet"}} \quad \text{et } \% \text{ impédance caractéristique}$$

On suppose des OPPH selon  $(Ox)$

$$u(x,t) = u_0 \cos(\omega t - kx)$$

$$i(x,t) = i_0 \cos(\omega t - kx)$$

$$2) \Rightarrow \frac{\partial i}{\partial x} = -\frac{\partial u}{\partial t}$$

$$\frac{\partial i}{\partial x} = +\Gamma \omega u_0 \sin(\omega t - kx)$$

intégrale

$$i(x,t) = \Gamma \frac{\omega}{R} u_0 \cos(\omega t - kx) + F(t)$$

$$i(x,t) = \Gamma c \frac{u_0 \cos(\omega t - kx) + F(t)}{u(x,t)}$$

cste que dep de t

Pn détermina  $F(t)$ , on utilise 1)

$$-\Lambda \frac{\partial u}{\partial t} = \frac{\partial i}{\partial x}$$

$$-\Lambda \Gamma c \omega u_0 \sin(\omega t - kx) + \frac{dF(t)}{dt} = \omega R \sin(\omega t - kx)$$

$\Lambda \Gamma c^2 = 1$

$$\frac{\Lambda \Gamma c \omega}{R} u_0 \sin(\omega t - kx) + \frac{dF(t)}{dt} = \omega R \sin(\omega t - kx)$$

↳  $F'(t) = 0 \rightarrow F(t) = \text{cte} = 0$  car sol qui se propage sans val moyenne

$$Z_c = \frac{u}{i} = \frac{1}{\Gamma c} = \sqrt{\frac{\Lambda}{\Gamma}} = Z_c$$

Rq<sup>o</sup> m résultat si OPP  $\rightarrow B(t - \frac{x}{c})$

Avec notat° complexe :

$$i = i_0 e^{j(\omega t - kx)}$$

$$u = u_0 e^{j(\omega t - kx)}$$

$$\frac{\partial i}{\partial x} = -jk i = -\Gamma \frac{\partial u}{\partial x} = -\Gamma j \omega u$$

$$Z_c = \frac{u}{i} = \frac{R}{\Gamma \omega} = \frac{1}{\Gamma C} \quad \text{ici } Z_c \in \mathbb{R}$$

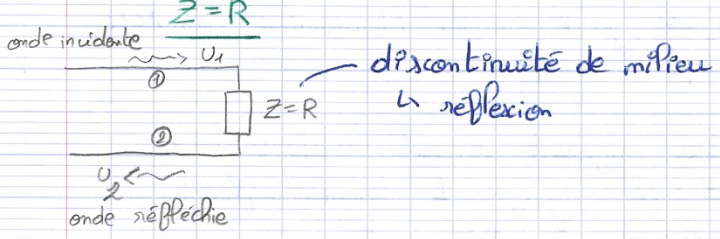
→ OPPH selon  $(0, x)$   
 $Z_c = -\sqrt{\frac{\mu}{\epsilon}}$

→ DGF  $Z_c$  :  $Z_c = \sqrt{\frac{\mu}{\epsilon}} = \sqrt{\frac{\mu_0}{2\pi} \rho_n \frac{b}{a} \times \frac{\rho_n \frac{b}{a}}{2\pi \epsilon_0}}$   
 $= \frac{1}{2\pi} \sqrt{\frac{\mu_0}{\epsilon_0}} \rho_n \frac{b}{a}$

diélec  $\hookrightarrow Z_c = \frac{1}{2\pi} \sqrt{\frac{\mu_0}{\epsilon_1 \epsilon_0}} \rho_n \frac{b}{a}$  Ex:  $a=1mm, b=3.5mm, \epsilon_1=2.25$   
 $Z_c = 50 \Omega$

Typiquement  $Z_c = 50 \Omega$  ou  $Z_c = 75 \Omega$

4° Réflex° en bout de ligne sur charge résistive



a) Réflex° sur une impédance  $Z=R$  qd° coeff de réflexion

OPPH incidente

$\hookrightarrow U_1 = u_0 \cos(\omega t - kx)$

OPPH réfléchie :  $U_2 = u_{on} \cos(\omega t + kx)$  avec  $k = \frac{\omega}{c}$

Rq°  $|u_{on}| \leq u_0$

En bout de câble,  $u(x=0, t) = Z i(x=0, t)$  ①

Déterminer  $u(x=0, t)$  et  $i(x=0, t)$ .

$u(x, t) = u_0 \cos(\omega t - kx) + u_{on} \cos(\omega t + kx)$

$u(x=0, t) = (u_0 + u_{on}) \cos \omega t$

$i(x, t) = \frac{u_1(x, t)}{Z_c} + \frac{u_2(x, t)}{Z_c} = \frac{1}{Z_c} (u_1(x, t) - u_2(x, t))$

$i(x=0, t) = \frac{1}{Z_c} (u_0 - u_{on}) \cos \omega t$

①  $(u_0 + u_{on}) \cos \omega t = \frac{Z}{Z_c} (u_0 - u_{on}) \cos \omega t$

$\Leftrightarrow u_0 + u_{on} = \frac{Z}{Z_c} (u_0 - u_{on})$

$\Leftrightarrow u_0 (1 + \frac{Z}{Z_c}) = u_{on} (\frac{Z}{Z_c} - 1) \Leftrightarrow u_{on} = \frac{Z - Z_c}{Z + Z_c} u_0$

$\tau_v = \frac{u_{on}}{u_0} = \frac{Z - Z_c}{Z + Z_c}$  coeff de réflexion en tension

$Z = R = Z_c$  m impédance en bout de câble que celle de la ligne

$\hookrightarrow \tau_v = 0$ , pas de réflexion / transmission complète

$\hookrightarrow$  adaptat° d'impédance

Sortie en court-circuit  $\rightarrow u(x=0, t) = 0$

$\hookrightarrow Z = 0$ ,  $\tau_v = -1$  tension réfléchie déphasage  $\pi$  entre  $u_1$  et  $u_2$

Sortie en "P'air", circuit ouvert  $\rightarrow i(x=0, t) = 0$

$Z = +\infty$ ,  $\tau_v = 1$  tension réfléchie  $> 0$

Réflex° en phase  $u_1 = u_0 \cos(\omega t - kx)$

$u_2 = u_0 \cos(\omega t + kx)$

$u_{on} = \tau_v u_0$

~

b) Mise en évidence expérimentale → doc

c) Focus sur le cas d'une impédance terminale nulle

$Z=0 \rightarrow u(x=0,t)=0$  sortie en court-circuit

On se place en notat° complexe

$$u_1 = u_0 e^{j(\omega t - kx)}, \quad u_2 = r_u u_0 e^{j(\omega t + kx)}$$

coeff de réflex° en tension

$r_u = r_0 e^{j\varphi}$  avec  $\varphi$  le déphasage éventuel entre  $u_1$  et  $u_2$  qui peut apparaître à la réflexion

Exploitions les CL en bout de câble :

$$u(x=0,t) = u_1(x=0,t) + u_2(x=0,t)$$

$$0 = u_0 e^{j\omega t} + r_u u_0 e^{j\omega t}$$

Rq° les 2 ω doivent être en satisfaisent la CL

$$\hookrightarrow 0 = 1 + r_u \quad (\Rightarrow r_u = -1 \Rightarrow \varphi = \pi \text{ réflex° en phase})$$

⚠ réflex° en phase en P'intensité

Déterminons la structure de l'onde résultante ds le câble

$$\begin{aligned} u(x,t) &= u_0 e^{j(\omega t - kx)} - u_0 e^{j(\omega t + kx)} \\ &= u_0 e^{j\omega t} (e^{-jkx} - e^{jkx}) \\ &= -u_0 e^{j\omega t} \times 2j \left( \frac{e^{jkx} - e^{-jkx}}{2j} \right) \\ &= 2u_0 e^{j\omega t} \times \sin kx = 2u_0 e^{j(\omega t - \frac{\pi}{2})} \sin kx = \text{Re}(u_0 e^{j\omega t}) \end{aligned}$$

$$= 2u_0 \cos(\omega t - \frac{\pi}{2}) \sin kx = 2u_0 \sin \omega t \sin kx = u(x,t)$$

↳ Onde statio harmonique  $g(t) \times f(x)$

↳ Nœud de tension

$$\begin{aligned} p(x,t) &= \frac{u_1(x,t)}{Z_c} - \frac{u_2(x,t)}{Z_c} = \frac{1}{Z_c} (u_0 e^{j(\omega t - kx)} - (-u_0) e^{j(\omega t + kx)}) \\ &= \frac{u_0}{Z_c} e^{j\omega t} (e^{-jkx} + e^{jkx}) \\ &= \frac{2u_0}{Z_c} e^{j\omega t} \cos kx = \text{Re}(i_0 e^{j\omega t}) \\ &= \frac{2u_0}{Z_c} \cos \omega t \cos kx \end{aligned}$$

↳ onde stationnaire harmonique

↳ ventre de courant en  $x=0$